

$$M_{\mu_1} = \frac{1}{[S_{ij}^2]} \sqrt{[S_{ij}^2(m_S^2 + \mu_{ij}^2 m_S^2)]}; \quad (13)$$

$$M_{\mu_1} = \frac{1}{[P_{ij}]} \sqrt{\left[\frac{S_{ij}^2}{m_S^2 + \mu_{ij}^2 m_S^2} \right]} = \frac{1}{\sqrt{[P_{ij}]}}. \quad (14)$$

Легко видеть, что

$$M_{\mu_1}/M_{\mu_1} = M_{\mu_1} \sqrt{[P_{ij}]}.$$

Подставляя в (11) — (14) некоррелированные погрешности линейных масштабов, можем априори определить ошибки преобразования

Число N элементов в сумме	Результаты вычислений средних квадратических ошибок по (11) — (14)				
	Средние квадратические ошибки $M \cdot 10^5$ и номера используемых формул	M_{μ_1} (11)	M_{μ_2} (12)	M_{μ_3} (13)	M_{μ_4} (14)
3	0,4629	0,6646	0,8347	0,2907	1,5925
5	0,4651	0,5030	0,6741	0,1922	2,4204
7	0,3480	0,4120	0,6054	0,1660	2,0857
9	0,3024	0,3668	0,5692	0,1593	1,8987
11	0,3170	0,3351	0,4742	0,1515	2,0925
13	0,2711	0,2813	0,3972	0,1245	2,1768
15	0,2547	0,2189	0,2006	0,0704	3,6175
17	0,2273	0,1921	0,1768	0,0635	3,5779
19	0,2038	0,1559	0,1308	0,0492	4,1451
21	0,1846	0,1381	0,1181	0,0436	4,2374

зованных координат, вызываемые ошибками средних значений масштаба.

Часть результатов вычислений по сравнению средних квадратических ошибок средних значений масштаба, определенных по различным формулам, приведена в таблице. Исходные данные взяты из [8].

На примере космических геодезических сетей экспериментально установлено, что точность среднего масштаба μ_1 (при $N \geq 15$) ниже точности других средних (средневесовых) масштабов, а погрешности масштабов μ_2 и μ_3 незначительно ($10 \dots 15\%$) отличаются друг от друга.

Погрешности преобразованных прямоугольных координат (в космической геодезии), вызываемые только ошибками масштабов, могут достигать нескольких десятков метров. Для уменьшения их следует вычислить средние, используя максимальное число исходных масштабов.

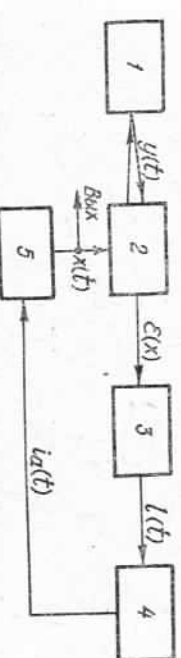
Список литературы: 1. Большаков В. Д., Гайдай П. А. Теория математической обработки геодезических измерений. — М.: Недра, 1977. 2. Буткевич А. В., Кирьялов В. Т. Об определении параметров преобразования пространственных прямоугольных координат. — Геодезия, картография и аэрофотогеодезика, 1982, № 3. Журакин И. Г. Об одном алгоритме преобразования координат в задачах фотограмметрии. — Изв. вузов. Геодезия и аэрофотосъемка, 1980, № 5.

4. Кирьялов В. Г. Характер линейных искажений при преобразованиях координат в трехмерном пространстве. — Геодезия, картография и аэрофотосъемка, 1979, вып. 30. 5. Кирьялов В. И. Определение масштаба сети космической триангуляции по фотографическим и лазерным наблюдениям ИСЗ: Автогр. дис. ... град. техн. наук. — М., 1978. 6. Машилов М. М. Космическая геодезия и вопросы теории в геодезии. — Изв. вузов. Геодезия и аэрофотосъемка, 1980, № 1. 7. Фотопризмугитуя с применением электронной цифровой вычислительной машины. — М.: Недра, 1975.

Статья поступила в редакцию 08.12.83

СЛЕДЯЩАЯ УГЛОИЗМЕРИТЕЛЬНАЯ СИСТЕМА (ВОПРОСЫ ОПТИМИЗАЦИИ ПАРАМЕТРОВ)

В настоящее время актуальной проблемой является разработка инженерно-геодезических систем (ИГИС) для измерения геодезических координат стochастически перемещающихся объектов. Поскольку геодезические координаты объекта будут меняться случайным образом, ИГИС необходимо проектировать для ведения непрерывных измерений в реальном масштабе времени и она должна



Функциональная схема ИГИС для измерения углового положения объекта:

1 — мишень, расположенная на объекте, на которую падает и отражается излучаемый системой лазерный луч; 2 — измерительное устройство, обрабатывающее входной сигнал $u(t)$, снимаемый с рабочей меры системы, и формирующее сигнал $x(t)$ (угол расположения (расстояния) сигнала $u(t) - x(t)$ об объекте); 3 — преобразователь информации об угловом положении объекта в электрический сигнал $l(t)$; 4 — усилитель, выходной сигнал $l(t)$ которого — ток управления электродвигателем привода; 5 — электропривод с редуктором и вращаемая им рабочая мера системы, с которой снимается информация о значении угла поворота (выходной сигнал $x(t)$).

на быть оптимальной для заданных условий измерений. При этом критерием оптимальности следует выбрать критерий минимума средней квадратической погрешности, который широко применяется в геодезии как универсальный [1].

Показем порядок оптимизации однокоординатной системы. В качестве примера возьмем ИГИС, измеряющую угловое положение объекта посредством определения отклонения отраженного от него лазерного пучка, поступающего на объект от системы. Функциональная схема такой ИГИС показана на рисунке.

При смещении объекта измерительное устройство вырабатывает сигнал рассогласования, который система стремится свести к нулю. Поворот рабочей меры дает информацию об угловом положении объекта.

Если производить измерение сигнала (в нашем случае угла), изменяющегося случайным образом, итоговая погрешность измерений будет определяться ошибкой измерений в стационарных условиях и ошибкой слежения, вызванной инерционностью ИГИС. Тогда для средней квадратической погрешности $\varepsilon_{\text{угл}}$ оптимизируемой ИГИС можно записать [4]

$$\varepsilon_{\text{угл}} = \varepsilon_{\text{угл}}(W, S_{y_{\text{угл}}}, S_{N_{y_{\text{угл}}}}),$$

где W — передаточная функция разомкнутой системы; $S_{y_{\text{угл}}}$ «помехи» (ошибки геодезических измерений в стационарных условиях).

В большинстве случаев для произвольно перемещающегося объекта функция значений угла не является стационарной. Поэтому для расчета воспользуемся формулой [5]

$$\begin{aligned} \varepsilon_{y_{\text{угл}}}^2 &= \frac{1}{2\pi} \int_{-\infty}^{\infty} \left| \frac{1 - \Phi(j\omega)}{j\omega} \right|^2 S_{N_{y_{\text{угл}}}}(\omega) d\omega + \\ &+ \frac{1}{2\pi} \int_{-\infty}^{\infty} |\Phi(j\omega)|^2 S_{N_{y_{\text{угл}}}}(\omega) d\omega, \end{aligned} \quad (1)$$

где $\Phi(j\omega)$ — передаточная функция замкнутой ИГИС; $S_{y_{\text{угл}}}$ — спектральная плотность производной входного сигнала $y_{\text{угл}}$ ИГИС. В свою очередь

$$\Phi(j\omega) = W(j\omega)/(1 + W(j\omega)). \quad (2)$$

Перейдем к определению значений параметров, входящих в (1). Предварительно найдем вид передаточной функции разомкнутой ИГИС. Если измерения производить лазерным геодезическим угломомером с автоматическим съемом информации [3], модифицированным для работы в режиме слежения за случайно изменяющимся углом поворота объекта, то дифференциальные уравнения и соответствующие преобразования Лапласа имеют вид:

для погрешности $\varepsilon(t) = y(t) - x(t)$;
для преобразователя информации о значении угла $e = k_y \varepsilon$, т. е.
 $e(s)/\varepsilon(s) = k_y$;

для усилителя $i_a = k_y e$, т. е. $i_a(s)/e(s) = k_y$;

$$\text{для двигателя электропривода } I \frac{d^2x}{dt^2} + b \frac{dx}{dt} = K_a i_a, \text{ т. е.}$$

$$\frac{x(s)}{i_a(s)} = \frac{k_x}{bs \left(\frac{I}{b}s + 1 \right)}.$$

Здесь e — напряжение на входе усилителя; i_a — ток якоря двигателя; k_y — коэффициент усиления усилителя; I — приведенный момент инерции; b — коэффициент вязкого трения (в приведенном моменте инерции и коэффициенте вязкого трения учитывается кинематика как собственно двигателя, так и редуктора и врашающихся частей автоматического угломера. Методика расчета этих величин изложена в [2]); k_x , k_y — постоянные коэффициенты. Тогда передаточная функция разомкнутой системы как отношене сигнала выхода к сигналу входа имеет вид

$$W(s) = \frac{x(s)}{e(s)} = k_0 k_y \frac{k_x}{bs \left(\frac{I}{b}s + 1 \right)} = \frac{k}{s(Ts + 1)}, \quad (3)$$

где

$$k = k_0 k_y k_x / b; \quad (4)$$

$$T = I/b. \quad (5)$$

По формуле (2) определим передаточную функцию замкнутой системы

$$\Phi(s) = \frac{W(s)}{1 + W(s)} = \frac{k}{Ts^2 + s + k}. \quad (6)$$

Согласно [5], спектральные плотности $S_{N_{y_{\text{угл}}}}$ и $S_{y_{\text{угл}}}$ имеют вид

$$S_{N_{y_{\text{угл}}}} = \sigma^2, \quad S_{y_{\text{угл}}} = a^2 \frac{2^{\mu}}{\omega^2 + \mu^2}. \quad (7)$$

Здесь σ — среднее квадратическое отклонение (статическая геодезическая ошибка); a — среднее значение скорости углового перемещения; $\mu = 1/\tau$, где τ — среднее значение интервала времени, когда скорость изменения угла можно считать постоянной. Таким образом, τ характеризует случайный процесс (изменение геодезической координаты) в отличие от T , определяющего инерционность измерительной системы (ИГИС).

Подставляя значения $\Phi(j\omega)$, $S_{y_{\text{угл}}}$ и $S_{N_{y_{\text{угл}}}}$ из формул (6) и (7) в (1), после вычисления интегралов, принимая $s = j\omega$, получаем:

$$\varepsilon_{y_{\text{угл}}}^2 = a^2 \frac{\mu T^2 k + \mu T + 1}{k(k + \mu + \mu^2 T)} + \frac{\sigma^2}{2} k = \frac{(\mu T + 1) a^2}{k} + (Ta)^2 \mu + \frac{\sigma^2}{2} k. \quad (8)$$

Обычно ИГИС оптимизируют, когда известны статистические характеристики «спинала» и «помехи». Поэтому выберем

значения коэффициентов a и μ , определяющие спектральную плотность $S_{\text{спектр}}$, исходя из характера перемещения объекта. Пусть для исследуемого процесса эти коэффициенты будут $a = 13''/\text{с}$, $\mu = 0,1 \text{ с}^{-1}$. Известными можно считать также величины δ и γ .

В частности, для системы, описанной в [3], можно принять, что средняя квадратическая погрешность измерения угла в стационарных условиях $\sigma = 20''$, а величина, определяемая параметрами применяемого привода, $T = I/b = 5 \text{ с}$. Тогда задача оптимизации $\varepsilon^2 = \varepsilon^2(k)$ будет иметь минимум. Произведя вычисления численными методами, получаем $k^* = 1,75 \text{ с}^{-1}$. При этом средняя величина квадрата суммарной погрешности будет $\varepsilon^2 = \varepsilon^2(k = 1,75) = 648 ('')^2$, а само значение средней квадратической ошибки $\varepsilon = 25''$.

Согласно формуле (4) коэффициент k является функцией нескольких параметров, описывающих передаточные свойства отдельных блоков ИГИС. Поэтому штоговый шаг оптимизации — выбор таких значений параметров системы, при которых коэффициент k принял бы расчетное значение. Если считать, например, что коэффициенты b , k_d и k_0 не подлежат изменению в процессе проектирования ИГИС, то из формулы (4) получим необходимое значение коэффициента усиления для оптимальной ИГИС

$$k_y = \frac{b}{k_0 k_d} \quad (9)$$

Отметим, что на практике не удается синтезировать систему передаточная функция которой была бы строго равна рассчитанной как при сборке системы, так и в течение ее эксплуатации. Поэтому дополнительно зададимся еще и целью определить такой интервал изменения параметра k , на границах которого $\varepsilon^2(k)$ не будет превышать $\varepsilon^2(k^*)$ более, чем на заданную величину, например на 5%, т. е. $\varepsilon^2(k_{\min}) = \varepsilon^2(k_{\max}) = 1,05 \varepsilon^2(k^*)$. Тогда в нашем случае мы получим $\varepsilon^2(k_{\min}) = \varepsilon^2(k_{\max}) = 681 ('')^2$, откуда $k_{\min} = 1,4 k_{\max} = 2,3$. При этом $(k^* - k_{\min})/k^* = 0,2$; $(k_{\max} - k^*)/k^* = 0,3$, т. е. при уменьшении k до 20%, либо при увеличении его до 30% по отношению к k^* , квадрат средней квадратической погрешности возрастет не более чем на 5%.

Список литературы: 1. Болычков В. Д. Теория ошибок наблюдений. — М.: Недра, 1983. 2. Зайцев Г. Ф., Костюк В. И., Чикаев П. И. Основы автоматического управления и регулирования. — К.: Техника, 1978. 3. Колодезь Ю. В. А. с. 879 301 (СССР). Углометрическое устройство. — Опубл. в Б. И., 1981. 4. Пучек В. С. Теория случайных функций. — М.: Физматиз, 1962. 5. Файзуллинский Ю. Л. Вопросы оптимизации автоматических измерительных систем геодезического назначения. — Геодезия, картография и аэрофотосъемка, 1984, вып. 39.

Статья поступила в редакцию 09.02.84

УДК 528.35:621.385.382

А. С. КОЛОС

ВЛИЯНИЕ ТОЧНОСТИ ИЗГОТОВЛЕНИЯ ЭЛЕКТРОННО-ОПТИЧЕСКОЙ СИСТЕМЫ НА ПАРАМЕТРЫ ЭЛЕКТРОННО-ЛУЧЕВОЙ ТРУБКИ, ПРИМЕНЯЕМЫХ ДЛЯ АВТОМАТИЗАЦИИ ГЕОДЕЗИЧЕСКИХ ИЗМЕРЕНИЙ

В современных цветных ЭЛТ наиболее перспективная трехпрожекторная электронно-оптическая система (ЭОС) с общими электродами в виде чашек овального сечения корытообразной формы с тремя отверстиями по ходу электронных лучей*. Такая ЭОС применена в кинескопе 25 ЛКД.

В данной ЭОС свечение лучей производится в центре маски за счет использования эффекта отклонения пучка в бипотенциальной линзе при смещении образующих ее электродов, в поле с нарушенной осевой симметрией.

Преимущество данной системы — возможность автоматического сведения электронных пучков за счет применения специальной отклоняющей системы (ОС) с перед заданным астигматизмом. Для этого необходима очень высокая точность и прецизионность изготовления деталей ЭОС в целях обеспечения планарности и взаимной ориентации электронных пучков.

В данной работе исследованы геометрические параметры ЭОС серийных кинескопов 25 ЛКД, их разброс и влияние на характеристики ЭЛТ. Геометрические параметры измеряли с помощью микроскопа УИМ-21 в специальной оправке. Проверяли расстояния модулятор-ускоряющий электрод $L_{\text{мод}}=y$, перекосы между электродами, диаметр отверстия в модуляторе, соосность модулятора и фокусирующего электрода, эксцентриситет со стороны модуляторов. Результаты измерений даны в табл. 1. Для оценки эллиптичности отверстий в модуляторах измерения проводили в двух взаимно перпендикулярных направлениях, для трех прожекторов ЭОС, которые в табл. 1 обозначены буквами К, З, С.

Для исследуемых ЭОС замерили значения запирающего напряжения прожекторов, фокусирующего напряжения и их разброс от прожектора к прожектору для каждой ЭОС. Результаты измерений приведены в табл. 2.

Анализ полученных результатов показывает, что причиной разброса запирающего напряжения являются разбросы катодов по базам и диаметров отверстий модулятора. Влияние толщин модулятора не учитывается, так как он общий для трех прожекторов. Смещение электродов главных фокусирующих линз крайних прожекторов при соосности центрального способствует разбросу фокусирующих напряжений между центральным и крайним прожек-

* Гейзлер Е. С. Разработка ЭОС для цветных кинескопов с планарным расположением прожекторов и электростатическим самовозвещением. — В кн.: Ка-